

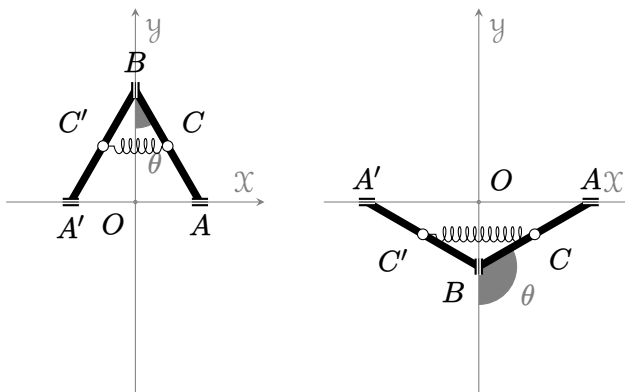
## ESAME DI MECCANICA RAZIONALE

CORSO DI LAUREA IN ARCHITETTURA – INGEGNERIA  
ALMA MATER – UNIVERSITÀ DI BOLOGNA

15 Luglio 2024

ISTRUZIONI. Il tempo a disposizione per la risoluzione è di 120 minuti. Il voto minimo per l'accesso all'orale è 15/30.

In un piano verticale sono date due aste omogenee,  $\overline{AB}$  e  $\overline{A'B'}$ , ciascuna di massa  $m$  e lunghezza  $\ell$ . Gli estremi  $A$  e  $A'$  sono vincolati a scorrere lungo l'asse delle ascisse  $\mathcal{X}$ : in particolare,  $A$  è vincolata a scorrere sul semiasse positivo, mentre  $A'$  scorre sul semiasse negativo. L'estremo comune  $B$  è invece vincolato a scorrere sull'asse verticale  $\mathcal{Y}$ . In figura sono date due possibili configurazioni del sistema. Tutti i vincoli sono realizzati per mezzo di carrelli ideali. Infine, i centri delle due aste sono collegati tra loro da una molla ideale, di lunghezza a riposo nulla e di costante elastica  $k > 0$ : la molla è fissata in maniera tale da non impedire in alcun modo lo scorrimento di  $B$  lungo l'asse delle ordinate.



Utilizzando come parametro lagrangiano l'angolo  $\theta$  in figura, si risponda a quanto segue.

- A Si calcoli il momento d'inerzia del sistema rispetto all'asse  $\mathcal{Z}$  passante per l'origine e ortogonale al piano in cui giace il sistema.
- B Si calcoli il momento risultante delle forze attive rispetto all'origine  $\tau_O^{(a)}$ .
- C Si identifichino le configurazioni di equilibrio — ordinarie e di confine — del sistema e se ne studi la stabilità.
- D Si calcoli il lavoro effettuato dalla forza peso passando da una configurazione con  $\theta = \frac{\pi}{4}$  ad una configurazione con  $\theta = \frac{3\pi}{4}$ .

SOLUZIONE

Utilizziamo come parametro lagrangiano l'angolo  $\theta$  già indicato in figura. L'angolo è tale che  $\theta \in [0, \pi]$ , per cui  $\theta = 0$  e  $\theta = \pi$  sono di confine.

**A** Possiamo calcolare il momento d'inerzia del sistema rispetto all'asse  $\mathcal{Z}$  usando il teorema di Huygens–Steiner su entrambe le aste. Otteniamo

$$I_{\mathcal{Z}} = 2 \frac{1}{12} m \ell^2 + m d^2(O, C) + m d^2(O, C') = \frac{1}{6} m \ell^2 + \frac{1}{2} m \ell^2 = \frac{2}{3} m \ell^2.$$

Per il calcolo abbiamo usato il fatto che, indicando con  $x_C = \frac{\ell}{2}(\sin \theta \hat{i}_1 + \cos \theta \hat{i}_2)$  e  $x_{C'} = \frac{\ell}{2}(-\sin \theta \hat{i}_1 + \cos \theta \hat{i}_2)$  i vettori che identificano i due punti  $C$  e  $C'$  rispettivamente,  $\|x_C\| = d(O, C) = \frac{\ell}{2} = \|x_{C'}\| = d(O, C')$  (o si può vedere anche da proprietà fondamentali dei triangoli rettangoli).

**B** Sono presenti quattro forze attive, due interne (applicate ai due estremi della molla) e due esterne (le due forze peso applicate alle aste). Le forze interne forniscono un contributo nullo. Indicando con  $F = F' = -mg \hat{i}_2$  le forze peso delle due aste, abbiamo

$$\tau_O^{(a)} = x_C \wedge F + x_{C'} \wedge F' = (x_C + x_{C'}) \wedge F = -mg \ell \cos \theta \hat{i}_2 \wedge \hat{i}_2 = \mathbf{0}.$$

**C** Essendo tutte le forze in gioco conservative e i vincoli ideali, possiamo studiare le configurazioni di equilibrio per mezzo del potenziale. Essendo il centro di massa in  $x_G = \frac{1}{2}(x_C + x_{C'}) = \frac{\ell}{2} \cos \theta \hat{i}_2$ , ed essendo  $d(C, C') = \ell \sin \theta$ ,

$$U(\theta) = -mg \ell \cos \theta - \frac{1}{2} k d^2(C, C') + \text{cost.} = -mg \ell \cos \theta - \frac{1}{2} k \ell^2 \sin^2 \theta + \text{cost.}$$

La configurazioni ordinarie di equilibrio si trovano risolvendo in  $\theta \in (0, \pi)$  l'equazione

$$\partial_{\theta} U(\theta) = k \ell^2 \sin \theta (\eta - \cos \theta) = 0$$

dove abbiamo introdotto  $\eta = \frac{mg}{k\ell}$ . Questa equazione ha soluzione

$$\theta_0 = \arccos \eta$$

nell'intervallo considerato se  $\eta < 1$ . La sua stabilità si può studiare considerando la derivata seconda

$$\partial_{\theta}^2 U(\theta)|_{\theta=\theta_0} = k \ell^2 (1 + \eta \cos \theta - 2 \cos^2 \theta)|_{\theta=\theta_0} = k \ell^2 (1 - \eta^2),$$

che è sempre positivo nell'intervallo ammesso, per cui questa posizione di equilibrio, quando esiste, è instabile.

Lo studio delle configurazioni di confine  $\theta = 0$  e  $\theta = \pi$  è più delicato perché richiede l'espansione di  $U$  attorno a tali posizioni per uno spostamento infinitesimo  $\delta\theta$ , valutando se  $\delta U \leq 0$  perché la configurazione sia di equilibrio. Sia per  $\theta = 0$  che per  $\theta = \pi$ , abbiamo che  $\partial_{\theta} U = 0$ : questo significa che entrambe le configurazioni sono di equilibrio. Tuttavia, per studiarne la stabilità, occorre ispezionare gli ordini superiori. Per  $\theta = 0$

$$\delta U = \frac{1}{2} \frac{\partial^2 U(\theta)}{\partial \theta^2} \Big|_{\theta=0} (\delta\theta)^2 + o((\delta\theta)^2) = \frac{k \ell^2 (\eta - 1)}{2} (\delta\theta)^2 + o((\delta\theta)^2) \leq 0 \Leftrightarrow \eta \leq 1$$

ovvero  $\theta = 0$  è di equilibrio stabile solo per  $\eta \leq 1$ . Analogamente, per  $\theta = \pi$ ,

$$\delta U = \frac{1}{2} \frac{\partial^2 U(\theta)}{\partial \theta^2} \Big|_{\theta=\pi} (\delta\theta)^2 + o((\delta\theta)^2) = -\frac{k \ell^2 (\eta + 1)}{2} (\delta\theta)^2 + o((\delta\theta)^2) \leq 0 \Leftrightarrow \forall \eta > 0$$

ovvero la configurazione ottenuta per  $\theta = \pi$  è sempre stabile.

**D** Essendo la forza peso una forza conservativa, è sufficiente calcolare la variazione di potenziale tra le due configurazioni indicate, facendo riferimento alla posizione del centro di massa. Il potenziale associato alla forza peso è

$$U_g(\theta) = -mg \ell \cos \theta + \text{costante.}$$

Abbiamo così che il lavoro compiuto dalla forza peso è dato da

$$W_g([\theta = \frac{\pi}{4}] \rightarrow [\theta = \frac{3\pi}{4}]) = U_g(\frac{3\pi}{4}) - U_g(\frac{\pi}{4}) = mg \ell \sqrt{2}.$$